



Faglig kontakt under eksamen:  
Navn: Brynjulf Owren (93021641)

## EKSAMEN I NUMERISK LØSNING AV DIFFERENSIALLIGNINGER MED DIFFERANSEMETODER (TMA4212)

Mandag 4. juni 2007  
Tid: 09:00–13:00, Sensur: 25.06.2007

Hjelpebidrifter: Kategori B, alle trykte og håndskrevne hjelpebidrifter tillatt.  
Bestemt enkel kalkulator tillatt. Typegodkjent lommekalkulator med tomt minne.

**NB! Du skal kun gjøre 8 av de 10 punktene.** Du velger selv hvilke. Svarer du på mer enn 8 vil de kun de 8 første i din besvarelse gi uttelling.

### Oppgave 1 Gitt S/R-problemet

$$\begin{aligned} u_t &= \partial_x(a(x)\partial_x u), \quad 0 < x < 1, \quad t > 0, \\ u(x, 0) &= f(x), \quad 0 \leq x \leq 1, \\ u(0, t) &= u(1, t) = 0, \quad t \geq 0. \end{aligned}$$

der  $a(x)$  er kontinuerlig og positiv i intervallet  $[0, 1]$ .

- a) Diskretiser denne ligningen ved å benytte sentraldifferenser i rom, det vil si erstatt  $\partial_x$  med  $(1/h)\delta_x$ , og bruk Eulers metode i tid. Definer vektoren  $U^n = [U_1^n, \dots, U_M^n]^T$ ,  $h = 1/(M + 1)$ , og vis at differansemetoden oppfyller en rekurrensligning av typen

$$U^{n+1} = CU^n, \quad C \in \mathbf{R}^{M \times M}$$

Bestem matrisen  $C$ .

**Svar:** Metoden blir

$$\frac{U_m^{n+1} - U_m^n}{k} = \frac{1}{h} \delta_x (a \frac{1}{h} \delta_x U_m^n) = \frac{1}{h^2} (a_{m+1/2} (U_{m+1}^n - U_m^n) - a_{m-1/2} (U_m^n - U_{m-1}^n))$$

så vi kan skrive, med  $r = k/h^2$ ,

$$U_m^{n+1} = r a_{m-1/2} U_{m-1}^n + (1 - r(a_{m-1/2} + a_{m+1/2})) U_m^n + r a_{m+1/2} U_{m+1}^n.$$

Matrisen  $C$  blir dermed tridiagonal og vi har

$$C_{m,m} = 1 - r(a_{m-1/2} + a_{m+1/2}), \quad C_{m+1,m} = C_{m,m+1} = r a_{m+1/2}.$$

- b) La  $r = k/h^2$  der  $k$  er tidsskrittet,  $\alpha = \max_{0 \leq x \leq 1} a(x)$ , og vis at metoden er stabil for skritt-lengder som oppfyller

$$2\alpha r \leq 1$$

*Hint.* Gershgorin's teorem.

**Svar:**  $C$  er symmetrisk, og en kan derfor bruke kravet  $\rho(C) \leq 1 + \nu k$ , dessuten har  $C$  reelle egenverdier, så vi kan snakke om Gershgorin-intervaller istedet for Gershgorin-disker. Vi noterer oss først at alle sub/superdiagonalelementer i  $C$  er positive. Intervall nr  $m$  er  $I_m = [1 - 2r(a_{m-1/2} + a_{m+1/2}), 1]$ ,  $1 < m < M$ , intervallet for linje 1 og  $M$  blir inneholdt i  $I_1$  og  $I_M$ . Vi sjekker nå at  $I_m \subseteq [-1, 1]$  for hver  $m$ . Vi trenger altså da kun å konsentrere oss om venstre endepunkt, dvs vi undersøker om

$$-1 \leq 1 - 2r(a_{m-1/2} + a_{m+1/2}) \Rightarrow r(a_{m-1/2} + a_{m+1/2}) \leq 1$$

Men betingen  $2\alpha r \leq 1$  brukes nå til å fastslå at

$$r(a_{m-1/2} + a_{m+1/2}) \leq r(\alpha + \alpha) \leq 1,$$

så hvert intervall  $I_m$  er definitivt inneholdt i  $[-1, 1]$ .

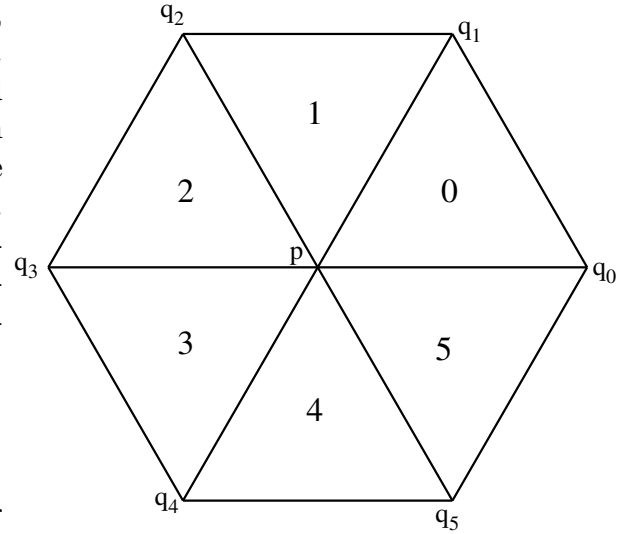
**Oppgave 2** I denne oppgaven skal du studere ulike aspekter ved endelig elementmetode anvendt på på Poisson-problemet med homogene randkrav

$$-\Delta u = f \quad (x, y) \in \Omega, \quad u = 0 \quad (x, y) \in \partial\Omega. \quad (1)$$

Anta at  $\Omega$  kan deles opp i likeformede trekantene der alle sidekanter har lengde  $h$ . Et utsnitt av trekantnettet er gitt på figuren, der vi antar at alle  $q_0, \dots, q_5$  er indre noder. De 6 trekantene  $T_j$  er på figuren merket med tallet  $j$ . Vi introduserer approksimasjonsrom  $S_h \subset S$  som underrommet av  $S$  bestående av funksjoner som er lineære på hver trekant. Som basis for  $S_h$  bruker vi pyramidefunksjoner  $\{\phi_p(x, y) : p \text{ indre node i } \Omega\}$ . For utsnittet på figuren lager vi et lokalt koordinatsystem ved å sette

$$\xi = \frac{x - x_p}{h}, \quad \eta = \frac{y - y_p}{h},$$

følgelig får hjørnene i sekskanten koordinater  $(\pm 1, 0)$  og  $(\pm \frac{1}{2}, \pm \frac{1}{2}\sqrt{3})$ . Vi definerer vektoren  $\mathbf{z} = (\xi, \eta)$ .



- a) Formfunksjonene  $\psi_p^j$ ,  $j = 0, \dots, 5$ , er basisfunksjonen  $\phi_p$  restriktert til trekant  $T_j$  (se figuren). Bestem  $\psi_p^0(\mathbf{z})$ ,  $\psi_{q_0}^0(\mathbf{z})$  og  $\psi_{q_1}^0(\mathbf{z})$ .

**Svar:** Punktene i trekant  $T_0$  har hjørner  $p(0, 0)$ ,  $q_0(1, 0)$ ,  $q_1(\frac{1}{2}, \frac{1}{2}\sqrt{3})$ . Vi lager lineære funksjoner av  $\xi$  og  $\eta$  og får

$$\psi_p^0(\xi, \eta) = 1 - \xi - \frac{1}{\sqrt{3}}\eta, \quad \psi_{q_0}^0(\xi, \eta) = \xi - \frac{1}{\sqrt{3}}\eta, \quad \psi_{q_1}^0(\xi, \eta) = \frac{2}{\sqrt{3}}\eta.$$

- b) Argumentér for at et fins en  $2 \times 2$ -matrise  $Q$  slik at

$$\begin{aligned} \psi_p^{j+1}(\mathbf{z}) &= \psi_p^j(Q\mathbf{z}), \\ \psi_{q_{j+1}}^{j+1}(\mathbf{z}) &= \psi_{q_j}^j(Q\mathbf{z}), \\ \psi_{q_{j+1}}^j(\mathbf{z}) &= \psi_{q_j}^{j-1}(Q\mathbf{z}), \end{aligned}$$

der vi pr definisjon setter  $\psi_p^6(\mathbf{z}) := \psi_p^0(\mathbf{z})$ , og  $\psi_{q_6}^j := \psi_{q_0}^j$ . Bestem  $Q$  og verifiser at den er ortogonal ( $Q^T Q = I$ ) med determinant lik 1.

**Svar:** Vi ser at dersom trekanten  $T_{j+1}$  roteres 60 grader ( $\pi/3$ ) med klokka omkring det fikserte punktet  $p$  så transformeres den til trekant  $T_j$ , hjørnene i  $T_{j+1}$  avbildes på hjørnene i  $T_j$ . Punktet  $p$  er invariant under transformasjonen, mens  $q_{j+1}$  avbildes til  $q_j$  (modulo 6). En slik rotasjon er en lineær transformasjon så hvis  $\psi^j(\mathbf{z})$  er en lineær funksjon på  $T_j$  vil  $\psi^j(Q\mathbf{z})$  være en lineær funksjon på  $T_{j+1}$ .  $Q$  er matrisen som roterer punkter 60 grader med klokka omkring origo, dvs

$$Q = \begin{bmatrix} \cos \frac{\pi}{3} & \sin \frac{\pi}{3} \\ -\sin \frac{\pi}{3} & \cos \frac{\pi}{3} \end{bmatrix} = \begin{bmatrix} \frac{1}{2} & \frac{1}{2}\sqrt{3} \\ -\frac{1}{2}\sqrt{3} & \frac{1}{2} \end{bmatrix}$$

$Q$  er opplagt ortogonal med determinant 1.

c) Bruk dette til å verifisere at

$$\begin{aligned}\int_{T_j} |\nabla \psi_p^j|^2 d\xi d\eta &= \int_{T_0} |\nabla \psi_p^0|^2 d\xi d\eta \\ \int_{T_j} \nabla \psi_p^j \cdot \nabla \psi_{q_j}^j d\xi d\eta &= \int_{T_0} \nabla \psi_p^0 \cdot \nabla \psi_{q_0}^0 d\xi d\eta \\ \int_{T_j} \nabla \psi_p^j \cdot \nabla \psi_{q_{j+1}}^j d\xi d\eta &= \int_{T_0} \nabla \psi_p^0 \cdot \nabla \psi_{q_1}^0 d\xi d\eta\end{aligned}$$

for  $0 \leq j \leq 5$ , og bestem de tre integralene.

**Svar:** Ved å bruke relasjonene i forrige punkt gjentatte ganger får en

$$\psi_p^j(\mathbf{z}) = \psi_p^0(Q^j \mathbf{z}), \quad \psi_{q_j}^j(\mathbf{z}) = \psi_{q_0}^0(Q^j \mathbf{z}), \quad \psi_{q_{j+1}}^j(\mathbf{z}) = \psi_{q_1}^0(Q^j \mathbf{z}).$$

I alle tre integraler gjør vi variabelskiftet  $\mathbf{z}' = Q^j \mathbf{z}$ , slik at integrasjonsområdet transformeres fra  $T_j$  til  $T_0$ . Dessuten må vi huske å multiplisere med Jacobianen (dvs determinanten til Jacobimatrissen) til transformasjonen. I vårt tilfelle er denne Jacobianen gitt som  $Q^j$  og siden  $\det(Q^j) = \det(Q)^j = 1$  så får vi ingen ekstra faktor og første del av oppgaven følger. For å beregne integralene må vi ta gradienter fra svaret i a).

$$\nabla \psi_p^0 = \begin{bmatrix} -1 \\ -\frac{1}{\sqrt{3}} \end{bmatrix}, \quad \nabla \psi_{q_0}^0 = \begin{bmatrix} 1 \\ -\frac{1}{\sqrt{3}} \end{bmatrix}, \quad \nabla \psi_{q_1}^0 = \begin{bmatrix} 0 \\ \frac{2}{\sqrt{3}} \end{bmatrix},$$

Arealet av hver trekant er (i  $(\xi, \eta)$ -koordinater) er  $A = \frac{1}{4}\sqrt{3}$  og dermed blir de tre integralene henholdsvis

$$\frac{4}{3}A, \quad -\frac{2}{3}A, \quad -\frac{2}{3}A$$

d) Variasjonsformuleringen av (1) gir en bilineær form  $a(u, v)$ ,  $u, v \in S$ . Bestem  $a(\phi_p, \phi_p)$  og  $a(\phi_p, \phi_{q_j})$ ,  $0 \leq j \leq 5$ , der  $\phi_p, \phi_{q_j}$  er pyramidefunksjonene sentrert hhv i  $p$  og  $q_j$ .

**Svar:** Det meste av jobben er nå gjort i de tidligere punktene, vi finner

$$a(\phi_p, \phi_p) = \sum_{j=0}^5 \int_{T_j} |\nabla \psi_p^j|^2 d\xi d\eta = 6 \int_{T_0} |\nabla \psi_p^0|^2 d\xi d\eta = 8A$$

og

$$\begin{aligned}a(\phi_p, \phi_{q_{j+1}}) &= \int_{T_j} \nabla \psi_p^j \cdot \nabla \psi_{q_{j+1}}^j d\xi d\eta + \int_{T_{j+1}} \nabla \psi_p^{j+1} \cdot \nabla \psi_{q_{j+1}}^{j+1} d\xi d\eta \\ &= \int_{T_0} \nabla \psi_p^0 \cdot \nabla \psi_{q_1}^0 d\xi d\eta + \int_{T_0} \nabla \psi_p^0 \cdot \nabla \psi_{q_0}^0 d\xi d\eta = -\frac{4}{3}A\end{aligned}$$

**Oppgave 3** Vi ser på det hyperbolske problemet

$$u_t + au_x = bu.$$

Lax-Wendroff's metode for denne ligningen er

$$U_m^{n+1} = (1 + bk + \frac{1}{2}(bk)^2) U_m^n - \frac{ap}{2}(1 + bk)(U_{m+1}^n - U_{m-1}^n) + \frac{(ap)^2}{2} \delta_x^2 U_m^n$$

der  $p = k/h$  og  $k$  og  $h$  er skritt lengden i henholdsvis tid og rom.

- a)** Vis hvordan denne metoden kan utledes, for eksempel ved å benytte at  $\partial_t^2 u = a^2 \partial_x^2 u - 2ab\partial_x u + b^2 u$ .

**Svar:** Vi gjør dette på standardmåten og får da med oss også svaret på neste delspørsmål. La  $\zeta = bk$ .

$$\begin{aligned} u_m^{n+1} &= u_m^n + k \partial_t u_m^n + \frac{1}{2} k^2 \partial_t^2 u_m^n + \frac{1}{6} k^3 \partial_t^3 u_m^n + \dots \\ &= u_m^n + k(-a\partial_x + b)u_m^n + \frac{1}{2} k^2 (a^2 \partial_x^2 - 2ab\partial_x + b^2)u_m^n + \frac{1}{6} k^3 \partial_t^3 u_m^n + \dots \\ &= (1 + \zeta + \zeta^2/2)u_m^n - ak(1 + \zeta)\partial_x u_m^n + \frac{1}{2}(ak)^2 \partial_x^2 u_m^n + \frac{1}{6} k^3 \partial_t^3 u_m^n + \dots \end{aligned}$$

Vi setter nå inn  $\partial_x u_m^n = \frac{1}{2h}(u_{m+1}^n - u_{m-1}^n) - \frac{1}{6}h^2 \partial_x^3 u_m^n - \dots$ , samt  $\partial_x^2 u_m^n = \frac{1}{h^2} \delta_x^2 u_m^n - \frac{1}{12}h^2 \partial_x^4 u_m^n - \dots$ , og får

$$u_m^{n+1} = (1 + bk + \frac{1}{2}(bk)^2) u_m^n - \frac{ap}{2}(1 + bk)(u_{m+1}^n - u_{m-1}^n) + \frac{(ap)^2}{2} \delta_x^2 u_m^n + \tau_m^n$$

der  $\tau_m^n$  er skrevet opp i neste punkt.

- b)** Utled et uttrykk for den lokale avbruddsfeilen  $\tau_m^n$ , idet du tar hensyn til at en kan ha  $a = 0$  eller  $b = 0$ . Som et minimum bør du ha et uttrykk av formen  $\tau_m^n = \mathcal{O}(\dots)$ , men angi gjerne de prinsipale leddene i utviklingen.

**Svar:** Fra forrige punkt finner vi de prinsipale leddene i avbruddsfeilen

$$\tau_m^n = \frac{1}{6}k^3 \partial_t^3 u_m^n + \frac{1}{6}a(1 + bk)kh^2 \partial_x^3 u_m^n - \frac{1}{24}a^2 k^2 h^2 \partial_x^4 u + \dots$$

så vi konkluderer med at avbruddsfeilen er  $\mathcal{O}(k^3 + kh^2)$  generelt og  $\mathcal{O}(k^3)$  når  $a = 0$ .

- c)** La  $\zeta = bk$ ,  $r = ap$ . Vis at metoden ovenfor er von Neumann stabil for alle  $\zeta, r$  slik at

$$(1 + \zeta + \zeta^2/2)^2 + 4qr^2(\zeta + \zeta^2/2) + 4r^2q^2(r^2 - (1 + \zeta)^2) \leq 1, \quad \text{for alle } 0 \leq q \leq 1.$$

*Hint.* Parameteren  $q$  framkommer som  $q = \sin^2 \frac{\beta h}{2}$  med vanlig notasjon for von Neumann stabilitet.

**Svar:** Vi setter inn  $U_m^n = \xi^n e^{i\beta h}$  i skjemaet og får

$$\xi = \phi_\zeta - ir(1 + \zeta) \sin \beta h + r^2(\cos \beta h - 1), \quad \phi_\zeta = 1 + \zeta + \frac{1}{2}\zeta^2$$

Vi innfører nå  $q = \sin^2 \frac{\beta h}{2}$  og bruker at en dermed har  $\cos \beta h = 1 - 2q$ , og vi får

$$|\xi|^2 = (\phi_\zeta - 2r^2 q)^2 + r^2(1 + \zeta)^2(1 - (1 - 2q)^2) = \phi_\zeta^2 + 4qr^2\left(\frac{1}{2}\zeta^2 + \zeta\right) + 4r^2q^2(r^2 - (1 + \zeta)^2)$$

og svaret følger ved å kreve  $|\xi|^2 \leq 1$ .

d) Vis at nødvendige betingelser for von Neumann stabilitet blir

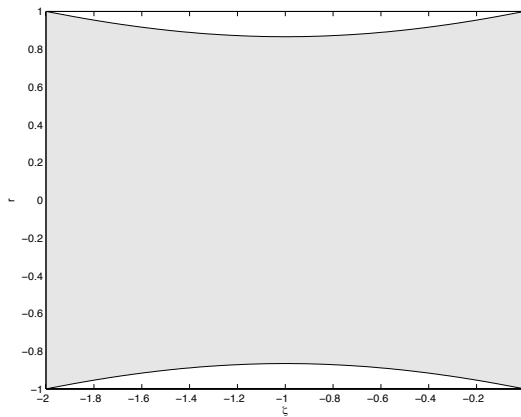
$$-2 \leq \zeta \leq 0, \quad r^2 \leq 1 + \frac{1}{2}\zeta + \frac{1}{4}\zeta^2$$

**Svar:** Her er poenget bare at kriteriet ovenfor må gjelde for alle  $\beta h$  og dermed for alle  $0 \leq q \leq 1$ . Spesielt vil vi sjekke endepunktene  $q = 0$  og  $q = 1$ . For  $q = 0$  får vi kun  $-1 \leq \phi_\zeta \leq 1$ . Vi kan skrive  $\phi_\zeta = \frac{1}{2}(1 + (\zeta + 1)^2)$  så åpenbart holder venstre ulikhet. For høyre ulikhet får vi  $\frac{1}{2}\zeta(\zeta + 2) \leq 0$  som gir første kriterium fra oppgaven. Setter vi  $q = 1$  kan vi trekke sammen ledd og finner at ulikheten som må oppfylles er rett og slett

$$(\phi_\zeta - 2r^2)^2 \leq 1 \Rightarrow (r^2 - \frac{\phi_\zeta - 1}{2})(r^2 - \frac{\phi_\zeta + 1}{2}) \leq 0.$$

Den første ulikheten  $-2 \leq \zeta \leq 0$  sikrer at første faktor  $(r^2 - \frac{\phi_\zeta - 1}{2}) \geq 0$  og dermed blir kravet

$$(r^2 - \frac{\phi_\zeta + 1}{2}) \leq 0 \Rightarrow r^2 \leq \frac{\phi_\zeta + 1}{2} = 1 + \frac{1}{2}\zeta + \frac{1}{4}\zeta^2$$



Figur 1: Stabilitetsområde i  $\zeta$ - $r$ -planet